

**Vanadium(V) oxide arsenate(V), VOAsO<sub>4</sub>****Safa Ezzine Yahmed, Mohamed Faouzi Zid\* and Ahmed Driss**Laboratoire de Matériaux et Cristallochimie, Faculté des Sciences, Université de Tunis-ElManar, 2092 El-Manar, Tunis, Tunisia  
Correspondence e-mail: faouzi.zid@fst.rnu.tn

Received 10 January 2011; accepted 1 February 2011

Key indicators: single-crystal X-ray study;  $T = 298\text{ K}$ ; mean  $\sigma(\text{V}-\text{O}) = 0.002\text{ \AA}$ ;  $R$  factor = 0.018;  $wR$  factor = 0.057; data-to-parameter ratio = 11.1.

The vanadyl arsenate, VOAsO<sub>4</sub>, has been isolated by a solid-state reaction. The structure consists of distorted VO<sub>6</sub> octahedra and AsO<sub>4</sub> tetrahedra sharing corners to build up VAsO<sub>7</sub> layers parallel to *ac* linked by edge-sharing of VO<sub>6</sub> octahedra, forming a three-dimensional framework.

**Related literature**

For the preparation, see: Ezzine *et al.* (2009). For structural relationships, see: Leclaire *et al.* (2002); Lii *et al.* (1990); Haddad *et al.* (1992); Haddad & Jouini (1994); Borel *et al.* (1997). For properties of related compounds, see: Aranda *et al.* (1992); Daidouh *et al.* (1997); Nguyen & Sleight (1996). For bond-valence data, see: Brown & Altermatt (1985). For related structures with formula MOXO<sub>4</sub> ( $M = \text{V}, \text{Nb}, \text{Mo}, \text{Sb}; X = \text{P}, \text{S}$ ), see: Amos *et al.* (1998); Boghosian *et al.* (1995); Kierkegaard & Longo (1970); Piffard *et al.* (1986); Tachez *et al.* (1981).

**Experimental***Crystal data*

VOAsO <sub>4</sub>	$V = 333.64(6)\text{ \AA}^3$
$M_r = 205.86$	$Z = 4$
Monoclinic, $P2_1/n$	Mo $K\alpha$ radiation
$a = 6.3338(7)\text{ \AA}$	$\mu = 12.69\text{ mm}^{-1}$
$b = 8.2826(8)\text{ \AA}$	$T = 298\text{ K}$
$c = 6.3599(7)\text{ \AA}$	$0.21 \times 0.11 \times 0.10\text{ mm}$
$\beta = 90.19(1)^\circ$	

*Data collection*

Enraf–Nonius CAD-4 diffractometer	724 independent reflections
Absorption correction: $\psi$ scan (North <i>et al.</i> , 1968)	672 reflections with $I > 2\sigma(I)$
$T_{\min} = 0.201, T_{\max} = 0.276$	$R_{\text{int}} = 0.022$
1646 measured reflections	2 standard reflections every 120 min
	intensity decay: 1.2%

*Refinement*

$R[F^2 > 2\sigma(F^2)] = 0.018$	65 parameters
$wR(F^2) = 0.057$	$\Delta\rho_{\max} = 0.63\text{ e \AA}^{-3}$
$S = 1.16$	$\Delta\rho_{\min} = -0.72\text{ e \AA}^{-3}$
724 reflections	

Data collection: *CAD-4 EXPRESS* (Duisenberg, 1992; Macíček & Yordanov, 1992); cell refinement: *CAD-4 EXPRESS*; data reduction: *XCAD4* (Harms & Wocadlo, 1995); program(s) used to solve structure: *SHELXS97* (Sheldrick, 2008); program(s) used to refine structure: *SHELXL97* (Sheldrick, 2008); molecular graphics: *DIAMOND* (Brandenburg, 1998); software used to prepare material for publication: *WinGX* (Farrugia, 1999).

Supplementary data and figures for this paper are available from the IUCr electronic archives (Reference: RU2001).

**References**

- Amos, T. G., Yokochi, A. & Sleight, A. W. (1998). *J. Solid State Chem.* **141**, 303–307.
- Aranda, M. A. G., Attfield, J. P., Bruque, S. & Martinez-Lara, M. (1992). *Inorg. Chem.* **31**, 1045–1049.
- Boghosian, S., Eriksen, K. M., Fehrmann, R. & Nielsen, K. (1995). *Acta Chem. Scand.* **49**, 703–708.
- Borel, M. M., Leclaire, A., Chardon, J., Provost, J., Rebbah, H. & Raveau, B. (1997). *J. Solid State Chem.* **132**, 41–46.
- Brandenburg, K. (1998). *DIAMOND*. University of Bonn, Germany.
- Brown, I. D. & Altermatt, D. (1985). *Acta Cryst. B41*, 244–247.
- Daidouh, A., Veiga, M. L. & Pico, C. (1997). *J. Solid State Chem.* **130**, 28–34.
- Duisenberg, A. J. M. (1992). *J. Appl. Cryst.* **25**, 92–96.
- Ezzine, S., Zid, M. F. & Driss, A. (2009). *Acta Cryst. E65*, i31.
- Farrugia, L. J. (1999). *J. Appl. Cryst.* **32**, 837–838.
- Haddad, A. & Jouini, T. (1994). *J. Solid State Chem.* **112**, 218–221.
- Haddad, A., Jouini, T. & Piffard, Y. (1992). *Eur. J. Solid State Inorg. Chem.* **29**, 57–63.
- Harms, K. & Wocadlo, S. (1995). *XCAD4*. University of Marburg, Germany.
- Kierkegaard, P. & Longo, J. M. (1970). *Acta Chem. Scand.* **24**, 427–432.
- Leclaire, A., Borel, M. M. & Raveau, B. (2002). *J. Solid State Chem.* **163**, 534–539.
- Lii, K. H., Tsai, H. J. & Wang, S. L. (1990). *J. Solid State Chem.* **87**, 396–401.
- Macíček, J. & Yordanov, A. (1992). *J. Appl. Cryst.* **25**, 73–80.
- Nguyen, P. T. & Sleight, A. W. (1996). *J. Solid State Chem.* **122**, 259–265.
- North, A. C. T., Phillips, D. C. & Mathews, F. S. (1968). *Acta Cryst. A24*, 351–359.
- Piffard, Y., Oyetola, S., Verbaere, A. & Tournoux, M. (1986). *J. Solid State Chem.* **63**, 81–85.
- Sheldrick, G. M. (2008). *Acta Cryst. A64*, 112–122.
- Tachez, J., Theobald, F. R. & Bordes, E. (1981). *J. Solid State Chem.* **40**, 280–283.

# supporting information

*Acta Cryst.* (2011). E67, i21 [doi:10.1107/S1600536811004053]

## Vanadium(V) oxide arsenate(V), VOAsO<sub>4</sub>

Safa Ezzine Yahmed, Mohamed Faouzi Zid and Ahmed Driss

### S1. Comment

Le vanadium peut adopter différentes coordinations et divers états d'oxydation. En outre, la jonction des polyèdres VO<sub>n</sub> avec des tétraèdres XO<sub>4</sub> (X= P ou As), peut mener à des composés possédant des charpentes anioniques ouvertes mixtes uni, bi ou tridimensionnelles (Leclaire *et al.*, 2002; Lii *et al.*, 1990; Haddad *et al.*, 1994; Borel *et al.*, 1997; Ezzine *et al.*, 2009), pouvant manifester certaines propriétés physiques intéressantes notamment: de conduction ionique (Daidouh *et al.*, 1997), d'échange d'ions (Aranda *et al.*, 1992) ou parfois catalytique (Nguyen & Sleight, 1996). L'unité asymétrique dans la structure renferme un tétraèdre AsO<sub>4</sub> et un octaèdre VO<sub>6</sub> reliés par mise en commun d'un sommet formant l'unité classique VAsO<sub>9</sub> (Fig. 1), présentant une distance courte caractéristique d'un groupement vanadyl ( d(V–O)= 1,570 (3) Å). Ces unités se connectent pour établir des chaînes infinies VAsO<sub>8</sub> parallèles respectivement à a et c. L'association de celles-ci, assurée par partage de sommets entre les polyèdres de nature différente conduit à des couches infinies VAsO<sub>7</sub> disposées parallèlement au plan ac (Fig. 2). La jonction de ces dernières est réalisée par partage d'arêtes entre octaèdres VO<sub>6</sub> appartenant à deux couches adjacentes pour conduire à une structure tridimensionnelle (Fig. 3).

La formule empirique de Brown (Brown & Altermatt, 1985) a été utilisée pour le calcul des différentes valences des liaisons qui vérifient bien les valeurs des charges des ions V(5,036) et As(4,936) dans cet oxyde.

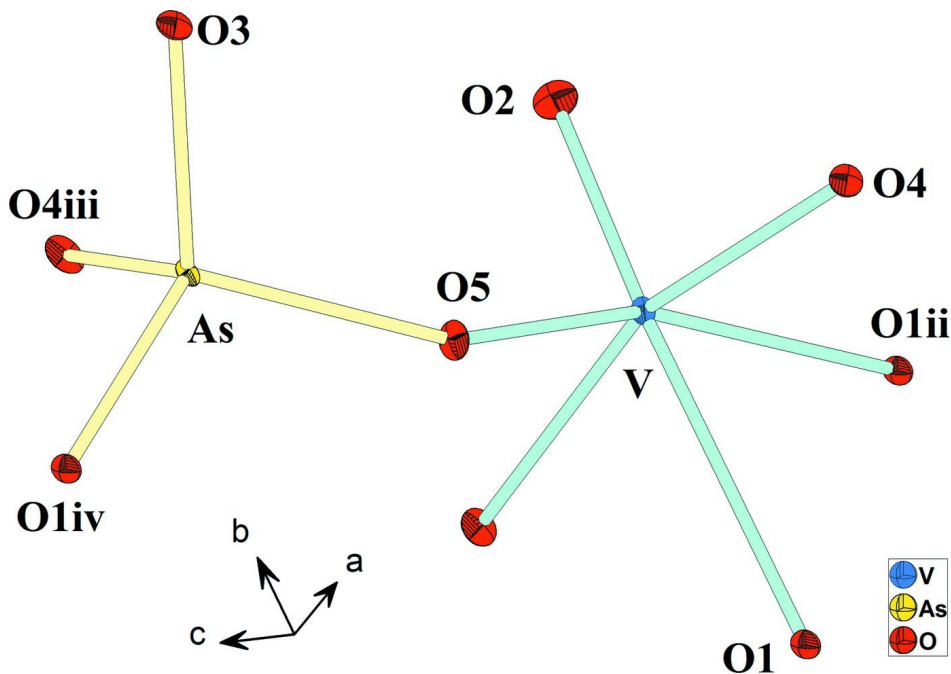
La comparaison de la structure de VOAsO<sub>4</sub> avec des travaux antérieurs de formulation analogue MOXO<sub>4</sub> (avec M= V, Nb, Mo ou Sb; X= P ou S) révèle la présence des chaînes classiques MXO<sub>8</sub> dans les composés MOPO<sub>4</sub> (M= V, Mo, Nb, Sb) ( Amos *et al.*, 1998; Piffard *et al.*, 1986; Tachez *et al.*, 1981; Kierkegaard *et al.*, 1970 ) et VOSO<sub>4</sub> (Boghosian *et al.*, 1995) analogues à celles rencontrées dans la phase étudiée. La jonction entre ces chaînes, dans VOPO<sub>4</sub>, MoOPO<sub>4</sub>, NbOPO<sub>4</sub> conduit aux mêmes types de couches MXO<sub>7</sub> rencontrées dans notre oxyde VOAsO<sub>4</sub>. Cependant dans les composés VOSO<sub>4</sub> et SbOPO<sub>4</sub> ces chaînes se lient par partage de sommets moyennant les octaèdres MO<sub>6</sub> et établissent des couches infinies MXO<sub>7</sub> (Fig. 4). Ces dernières se connectent entre elles par partage de sommets entre les octaèdres MO<sub>6</sub> dans les phosphates de niobium, vanadium ou molybdène et par ponts mixtes M-O-X dans le sulfate de vanadium et le phosphate d'antimoine. L'association des couches conduit dans chaque cas à une structure tridimensionnelle.

### S2. Experimental

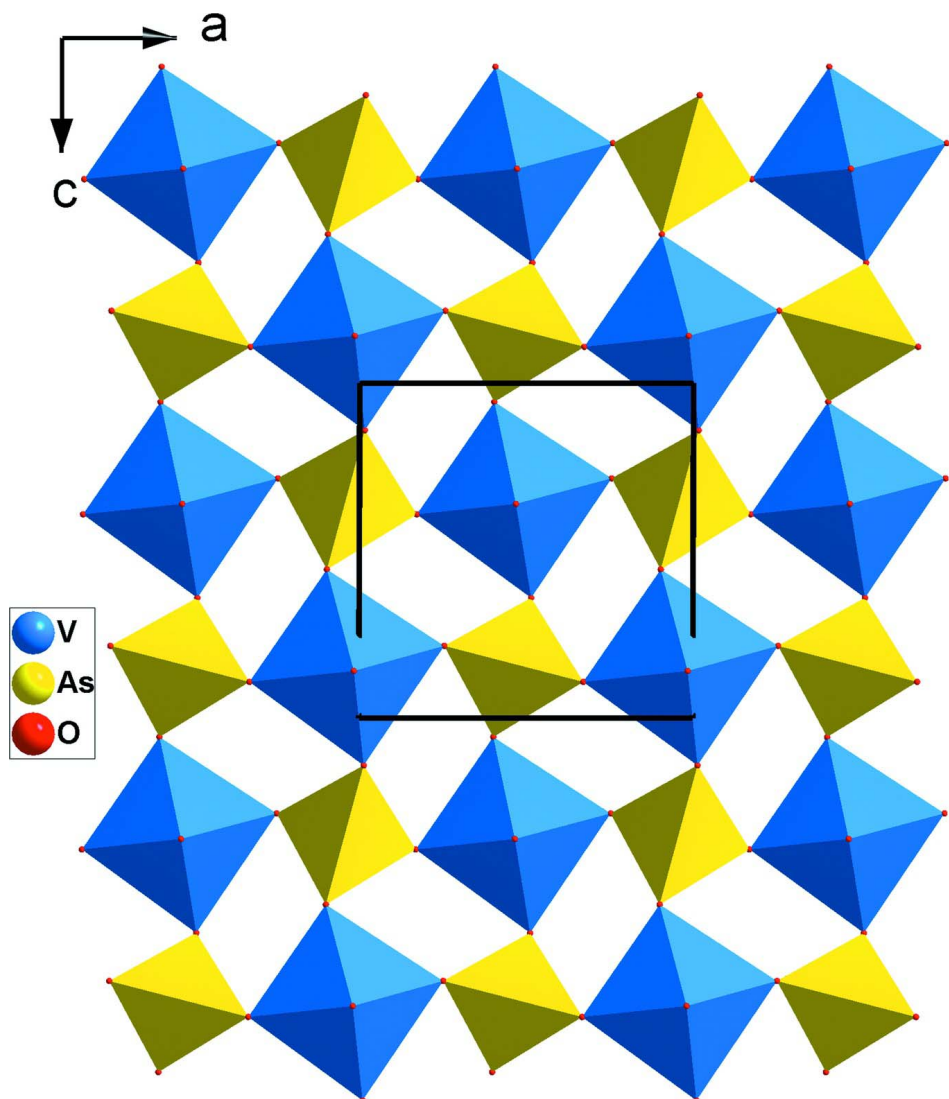
Des cristaux de la phase VOAsO<sub>4</sub> ont été obtenus au cours de l'exploration du système Na<sub>2</sub>O–V<sub>2</sub>O<sub>5</sub>–As<sub>2</sub>O<sub>5</sub>. En effet, un mélange réalisé dans les conditions stoechiométriques (1:2:2) à partir des réactifs solides NH<sub>4</sub>H<sub>2</sub>AsO<sub>4</sub> (préparé au laboratoire, ASTM 01-775), NH<sub>4</sub>VO<sub>3</sub> (Riedel-De Haën) et NaNO<sub>3</sub> (Fluka) est finement broyé et pré-chauffé à 573 K pendant une nuit. La température est ensuite portée à 873 K pendant deux jours. Après refroidissement, l'observation du mélange révèle la présence de deux types de cristaux. La phase majoritaire, sous forme parallélépipédique de couleur verte, s'avère moyennant la diffraction des rayons-X, le composé NaVAsO<sub>5</sub> (Haddad *et al.* 1992). Un cristal de la phase minoritaire a été donc choisi pour la détermination de sa structure.

**S3. Raffinement**

Le facteur de consistance interne  $R_{\text{int}}$  calculé pour les facteurs de structure supposés équivalents soit dans les cas orthorhombique ou tétragonal conduit à des valeurs supérieures à 26%. L'affinement final est par conséquent mené dans le système monoclinique avec une valeur de  $R_{\text{int}}$  égale à 2,2%. Les densités d'électrons maximum et minimum restants dans la Fourier-différence sont situées respectivement à 0,73 Å de O2 et à 0,93 Å de As.

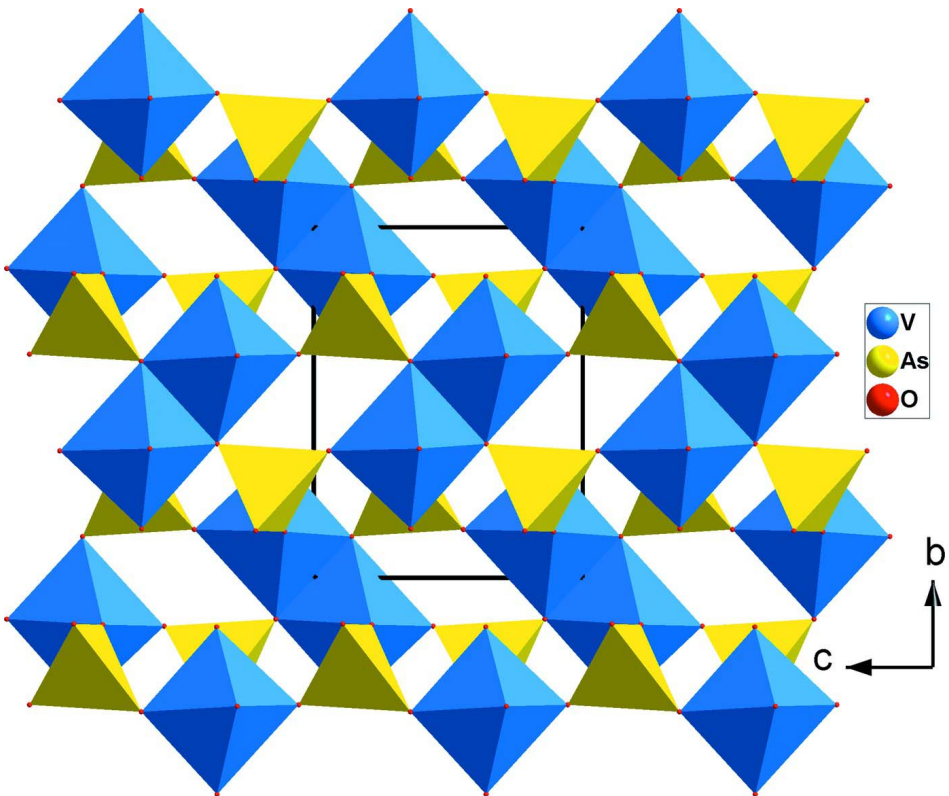
**Figure 1**

Unité asymétrique dans  $\text{VOAsO}_4$ . Les ellipsoïdes ont été définis avec 50% de probabilité. [codes de symmétrie: (i)  $x - 1/2, -y + 1/2, z - 1/2$ ; (ii)  $x - 1, y, z$ ; (iii)  $x - 1, y, z - 1$ ; (iv)  $-x + 1, -y, -z + 1$ ; (v)  $x - 1/2, -y + 1/2, z + 1/2$ ].



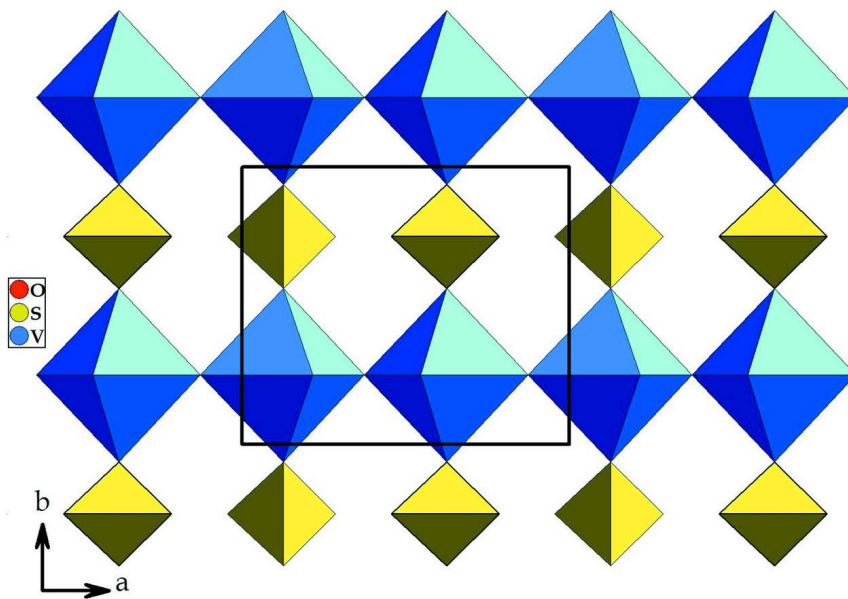
**Figure 2**

Projection d'une couche  $\text{VAsO}_7$  selon  $b$  montrant la connexion des chaînes infinies  $\text{VAsO}_8$ .



**Figure 3**

Projection de la structure de  $\text{VOAsO}_4$  selon a.



**Figure 4**

Projection d'une couche  $\text{VSO}_7$  selon c dans l'oxyde  $\text{VOSO}_4$ .

**Vanadium(V) oxide arsenate(V)***Crystal data*

$\text{VOAsO}_4$   
 $M_r = 205.86$   
Monoclinic,  $P2_1/n$   
Hall symbol: -P 2yn  
 $a = 6.3338$  (7) Å  
 $b = 8.2826$  (8) Å  
 $c = 6.3599$  (7) Å  
 $\beta = 90.19$  (1)°  
 $V = 333.64$  (6) Å<sup>3</sup>  
 $Z = 4$

$F(000) = 384$   
 $D_x = 4.098 \text{ Mg m}^{-3}$   
Mo  $K\alpha$  radiation,  $\lambda = 0.71073$  Å  
Cell parameters from 25 reflections  
 $\theta = 10\text{--}15^\circ$   
 $\mu = 12.69 \text{ mm}^{-1}$   
 $T = 298$  K  
Prism, orange  
 $0.21 \times 0.11 \times 0.10$  mm

*Data collection*

Enraf–Nonius CAD-4  
diffractometer  
Radiation source: fine-focus sealed tube  
Graphite monochromator  
 $\omega/2\theta$  scans  
Absorption correction:  $\psi$  scan  
(North *et al.*, 1968)  
 $T_{\min} = 0.201$ ,  $T_{\max} = 0.276$   
1646 measured reflections

724 independent reflections  
672 reflections with  $I > 2\sigma(I)$   
 $R_{\text{int}} = 0.022$   
 $\theta_{\max} = 27.0^\circ$ ,  $\theta_{\min} = 4.0^\circ$   
 $h = -8 \rightarrow 8$   
 $k = -1 \rightarrow 10$   
 $l = -8 \rightarrow 8$   
2 standard reflections every 120 min  
intensity decay: 1.2%

*Refinement*

Refinement on  $F^2$   
Least-squares matrix: full  
 $R[F^2 > 2\sigma(F^2)] = 0.018$   
 $wR(F^2) = 0.057$   
 $S = 1.16$   
724 reflections  
65 parameters  
0 restraints  
Primary atom site location: structure-invariant  
direct methods

Secondary atom site location: difference Fourier  
map  
 $w = 1/[\sigma^2(F_o^2) + (0.0302P)^2 + 0.2701P]$   
where  $P = (F_o^2 + 2F_c^2)/3$   
 $(\Delta/\sigma)_{\max} < 0.001$   
 $\Delta\rho_{\max} = 0.63 \text{ e } \text{\AA}^{-3}$   
 $\Delta\rho_{\min} = -0.72 \text{ e } \text{\AA}^{-3}$   
Extinction correction: *SHELXL97* (Sheldrick,  
2008),  $Fc^* = kFc[1 + 0.001xFc^2\lambda^3/\sin(2\theta)]^{1/4}$   
Extinction coefficient: 0.0051 (10)

*Special details*

**Geometry.** All e.s.d.'s (except the e.s.d. in the dihedral angle between two l.s. planes) are estimated using the full covariance matrix. The cell e.s.d.'s are taken into account individually in the estimation of e.s.d.'s in distances, angles and torsion angles; correlations between e.s.d.'s in cell parameters are only used when they are defined by crystal symmetry. An approximate (isotropic) treatment of cell e.s.d.'s is used for estimating e.s.d.'s involving l.s. planes.

**Refinement.** Refinement of  $F^2$  against ALL reflections. The weighted  $R$ -factor  $wR$  and goodness of fit  $S$  are based on  $F^2$ , conventional  $R$ -factors  $R$  are based on  $F$ , with  $F$  set to zero for negative  $F^2$ . The threshold expression of  $F^2 > \sigma(F^2)$  is used only for calculating  $R$ -factors(gt) *etc.* and is not relevant to the choice of reflections for refinement.  $R$ -factors based on  $F^2$  are statistically about twice as large as those based on  $F$ , and  $R$ -factors based on ALL data will be even larger.

*Fractional atomic coordinates and isotropic or equivalent isotropic displacement parameters (Å<sup>2</sup>)*

	<i>x</i>	<i>y</i>	<i>z</i>	$U_{\text{iso}}^*/U_{\text{eq}}$
V	0.03529 (6)	0.17105 (6)	0.15935 (6)	0.00436 (16)
As	0.03636 (4)	0.24811 (3)	0.65771 (4)	0.00357 (14)
O1	0.0152 (3)	-0.1177 (2)	0.1408 (3)	0.0055 (4)

O2	0.0313 (3)	0.3600 (3)	0.1395 (3)	0.0113 (5)
O3	0.2446 (3)	0.3664 (2)	0.7158 (3)	0.0073 (4)
O4	0.3279 (3)	0.1316 (2)	0.1083 (3)	0.0076 (4)
O5	0.0968 (3)	0.1379 (2)	0.4438 (3)	0.0071 (4)

*Atomic displacement parameters ( $\text{\AA}^2$ )*

	$U^{11}$	$U^{22}$	$U^{33}$	$U^{12}$	$U^{13}$	$U^{23}$
V	0.0029 (2)	0.0063 (3)	0.0039 (3)	-0.00016 (15)	-0.00034 (17)	-0.00090 (15)
As	0.00167 (19)	0.0062 (2)	0.0028 (2)	-0.00011 (8)	-0.00033 (12)	0.00060 (8)
O1	0.0066 (9)	0.0064 (9)	0.0035 (8)	-0.0010 (7)	-0.0004 (6)	0.0009 (6)
O2	0.0127 (11)	0.0088 (11)	0.0125 (10)	-0.0003 (7)	-0.0011 (8)	0.0000 (7)
O3	0.0028 (8)	0.0095 (10)	0.0095 (8)	-0.0022 (7)	-0.0001 (7)	-0.0010 (7)
O4	0.0023 (8)	0.0109 (10)	0.0094 (8)	-0.0019 (7)	-0.0004 (6)	-0.0030 (7)
O5	0.0074 (9)	0.0110 (9)	0.0030 (8)	0.0004 (7)	-0.0017 (7)	-0.0006 (7)

*Geometric parameters ( $\text{\AA}$ ,  $^\circ$ )*

V—O2	1.570 (3)	V—O1	2.398 (2)
V—O5	1.869 (2)	As—O3	1.683 (2)
V—O3 <sup>i</sup>	1.903 (2)	As—O4 <sup>iii</sup>	1.683 (2)
V—O4	1.911 (2)	As—O5	1.683 (2)
V—O1 <sup>ii</sup>	1.985 (2)	As—O1 <sup>iv</sup>	1.708 (2)
O2—V—O5	103.14 (9)	O5—V—O1	84.95 (7)
O2—V—O3 <sup>i</sup>	99.33 (9)	O3 <sup>i</sup> —V—O1	78.20 (7)
O5—V—O3 <sup>i</sup>	89.55 (8)	O4—V—O1	82.66 (7)
O2—V—O4	99.93 (9)	O1 <sup>ii</sup> —V—O1	73.88 (8)
O5—V—O4	86.58 (8)	O3—As—O4 <sup>iii</sup>	108.07 (10)
O3 <sup>i</sup> —V—O4	160.74 (9)	O3—As—O5	108.23 (9)
O2—V—O1 <sup>ii</sup>	98.17 (9)	O4 <sup>iii</sup> —As—O5	110.52 (9)
O5—V—O1 <sup>ii</sup>	158.54 (9)	O3—As—O1 <sup>iv</sup>	110.81 (9)
O3 <sup>i</sup> —V—O1 <sup>ii</sup>	89.55 (8)	O4 <sup>iii</sup> —As—O1 <sup>iv</sup>	111.25 (9)
O4—V—O1 <sup>ii</sup>	87.24 (7)	O5—As—O1 <sup>iv</sup>	107.93 (9)
O2—V—O1	171.60 (8)		

Symmetry codes: (i)  $x-1/2, -y+1/2, z-1/2$ ; (ii)  $-x, -y, -z$ ; (iii)  $x-1/2, -y+1/2, z+1/2$ ; (iv)  $-x, -y, -z+1$ .